

Etaj de amplificare elementar cu tranzistor bipolar în conexiune emitor comun

Circuitul echivalent natural π - hibrid (Giacoletto).....	1
Etaj de polarizare cu TB în conexiune emitor comun.....	2
Analiza de punct static de funcționare	2
Raspunsul circuitului la frecvențe medii	3
Raspunsul circuitului la frecvențe joase	4
Raspunsul circuitului la înalță frecvență	6
Simulare SPICE.....	7
Punctul static de funcționare (PSF) și parametrii de model pentru tranzistor:.....	7
Diagramele Bode de modul și fază	8
Calcul simbolic.....	8
PSF	8
Analiza la semnal mic	9
Aproximarea în banda	10
Aproximarea la joasă frecvență	10
Aproximarea la înaltă frecvență	11

Circuitul echivalent natural p - hibrid (Giacoletto)

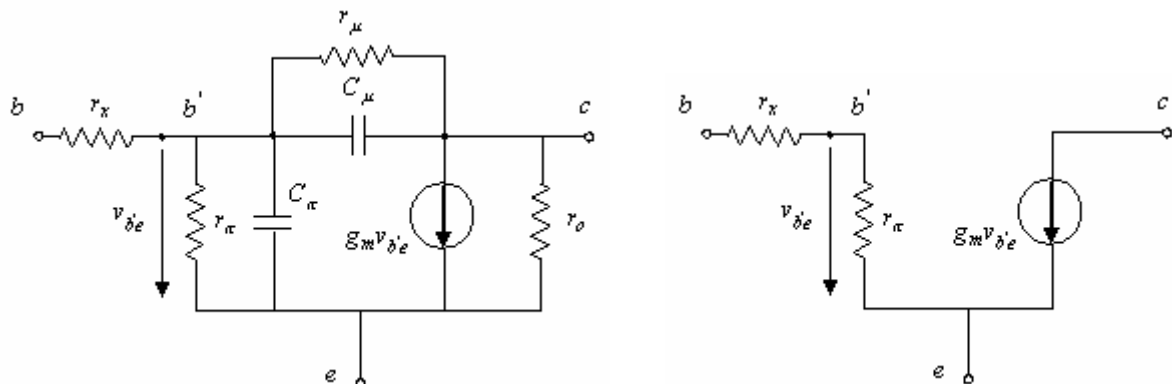


Fig. 1. Modelul de semnal mic natural p - hibrid al tranzistorului bipolar

Este cel mai utilizat circuit echivalent de semnal mic, valabil în toate conexiunile în care poate funcționa tranzistorul bipolar. Elementele sale au semnificații fizice clare, nu depind de frecvență și pot fi determinate ușor experimental.

Parametrii principali ai circuitului π - hibrid sunt:

1. Transconductanța (panta):
$$g_m = \frac{I_C}{U_T} \approx 40 I_C \text{ (mA/V)}, \text{ cu } I_C [\text{mA}].$$
2. Rezistența de intrare:
$$r_p = \frac{b}{g_m}$$
3. Rezistența de ieșire:
$$r_o \approx \frac{U_A}{I_C} \text{ în care } U_A \text{ este tensiunea Early.}$$
4. Rezistența de reactie (colector-baza):
$$r_m = b r_o$$

Etaj de polarizare cu TB in conexiune emitor comun

In schema din Fig.2 se prezinta amplificatorul în conexiune emitor comun, atacat de o sursa de semnal V_g cu rezistenta interna R_g si lucrând pe o sarcina rezistiva R_s cuplata prin condensatorul de cuplaj C_s .

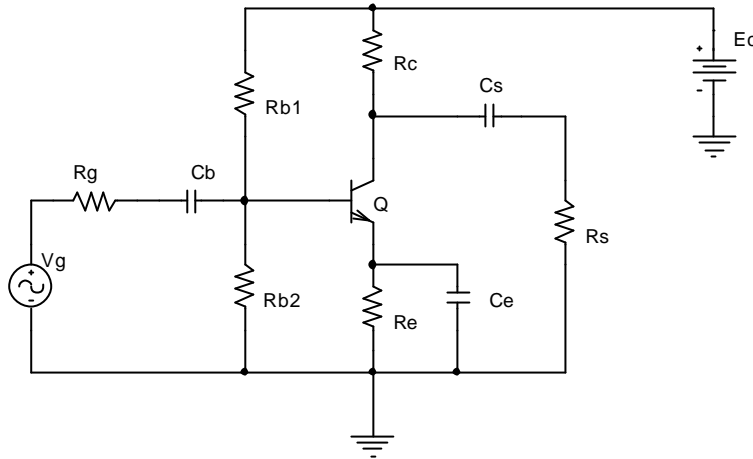


Fig. 2. Etaj de amplificare în conexiune emitor comun

Analiza de punct static de functionare

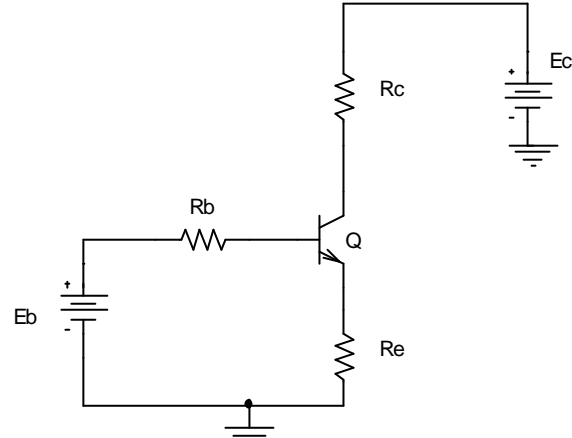
Se calculeaza sursa echivalenta de tensiune si rezistenta echivalenta în baza tranzistorului:

$$E_B = \frac{R_{B2}}{R_{B1} + R_{B2}} E_C, \quad R_B = \frac{R_{B1} R_{B2}}{R_{B1} + R_{B2}} \quad \text{I. 1}$$

Curentul de colector se poate scrie:

$$I_C = b I_B + (b+1) I_{CB_0} \quad \text{I. 2}$$

Pe circuitul de intrare aplicam K II:



$$E_B = V_{BE} + R_B I_B + R_E (I_C + I_B) = V_{BE} + (R_B + (b+1) R_E) I_B \quad \text{I. 3}$$

Eliminând variabila I_B între ecuațiile de mai sus, se obtine expresia exactă a curentului de colector:

$$I_C = \frac{b (E_B - V_{BE}) + (b+1) (R_B + (b+1) R_E) I_{CB_0}}{R_B + (b+1) R_E} \quad \text{I. 4}$$

Termenul I_{CB_0} este neglijabil la temperaturi normale, mai ales la tranzistoare cu siliciu, astfel încât se poate aproxima:

$$I_C \approx \frac{b (E_B - V_{BE})}{R_B + (b+1) R_E} \quad \text{I. 5}$$

Tensiunea colector-emitor rezulta din relația:

$$V_{CE} = E_C - R_C I_C - R_E I_E \approx E_C - (R_C + R_E) I_C \quad \text{I. 6}$$

Relatiile se pot utiliza pentru determinarea rapida a punctului static de functionare (PSF).

Rezistenta din emitor R_E are un rol important în stabilizarea PSF la variatiile temperaturii (a mediului ambiant și datorate încalzirii dispozitivului în cursul functionării), actionând printr-un mecanism de reacție negativa serie în curent continuu. De asemenea, R_E reduce deplasarea PSF proiectat datorată dispersiei tehnologice a dispozitivului activ (parametrii b , I_{CB_0}) și a tolerantelor elementelor pasive (rezistențele de polarizare). Astfel, R_E are în general un efect de **desensibilizare** a PSF. Pentru aceasta, la proiectare trebuie să îndeplinească condițiile:

$$(b+1)R_E \gg R_B, R_E I_C \gg V_{BE}$$

Cunoscând valoarea lui I_C , se pot calcula parametrii circuitului de semnal mic g_m, r_p, r_0 cu relatiile descrise în breviarul teoretic.

Exemplu de calcul:

Se consideră următoarele valori ale elementelor schemei:

$$R_{B1} = 36k\Omega; R_{B2} = 15k\Omega; R_E = 2k\Omega; R_C = 2k\Omega; R_S = 2k\Omega;$$

$$C_B = C_E = 5\text{mF}; C_S = 100\text{mF}; E_C = 10V;$$

Pentru tranzistorul Q se consideră în calcule $b = 100$; $V_{BE} = 0.6V$

Se obțin următoarele valori de punct static de funcționare:

$$I_C = 1.1mA; g_m = 44mA/V; r_p = 2.27k\Omega;$$

Raspunsul circuitului la frecvențe medii

Schema de semnal mic a întregului etaj de amplificare se prezintă în Fig.3. Condensatoarele de cuplaj-separare C_B, C_E și C_S sunt considerate de reactanță neglijabilă (scurtcircuit pe semnal) la frecvența de lucru. Modelul de semnal mic se consideră simplificat, condensatoarele C_p, C_m se consideră de reactanță neglijabilă iar r_m este ∞ . Rezistența r_0 apare în paralel cu rezistențele R_C și R_S iar $r_0 \gg R_C, R_S$ și atunci se poate neglija.

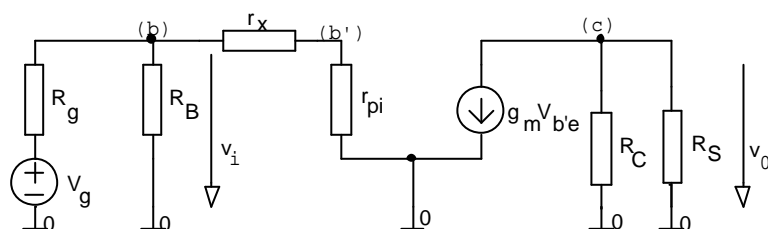


Fig. 3. Schema de semnal mic a etajului în conexiune emitor comun aproximativ la frecvențe medii

Se pot scrie relatiile:

$$v_0 = -b i_b (R_C \parallel R_S) \quad \text{I. 7}$$

$$v_i = (r_x + r_p) i_b \quad \text{I. 8}$$

Se obține expresia amplificării în mijlocul benzii (la frecvențe medii) fata de intrare:

$$A_{ui} = \frac{v_o}{v_i} = -\frac{b(R_C \parallel R_S)}{(r_x + r_p)} \approx -g_m (R_C \parallel R_S) = -g_m R_{se} \quad \text{I. 9}$$

și cu $R_{se} = (R_C \parallel R_S)$ am notat (rezistența echivalentă din colector pe semnal).

Etaj de amplificare elementar cu tranzistor bipolar în conexiune emitor comun

Daca etajul de amplificare lucreaza în gol ($R_s \rightarrow \infty$), rezulta:

$$A_{ui} = -g_m R_C \quad \text{I. 10}$$

Rezistenta de intrare în tranzistor este:

$$R_{it} = r_x + r_p \quad \text{I. 11}$$

Rezistenta de intrare în etaj este:

$$R_i = R_B \parallel R_t = R_{B1} \parallel R_{B2} \parallel R_u = R_{B1} \parallel R_{B2} \parallel (r_x + r_p) \quad \text{I. 12}$$

Amplificarea în tensiune fata de generator va fi:

$$A_{ug} = \frac{V_o}{V_g} = A_{ui} \frac{V_i}{V_g} = A_{ui} \frac{R_i}{R_i + R_g} \approx -g_m R_{se} \frac{R_i}{R_i + R_g} \quad \text{I. 13}$$

In cazul unei surse ideale de tensiune, $R_g = 0$ si $A_{ug} = A_{ui}$.

Raspunsul circuitului la frecvențe joase

In Fig.4 se prezinta schema echivalenta de semnal la frecvențe joase, în care apar si capacitatile de cuplaj-separare din circuit. Pentru modelul tranzistorului în semnal mic se negljeaza reactantele C_p , C_m si rezistentele r_m si r_0 au valori mari si pot fi neglijate.

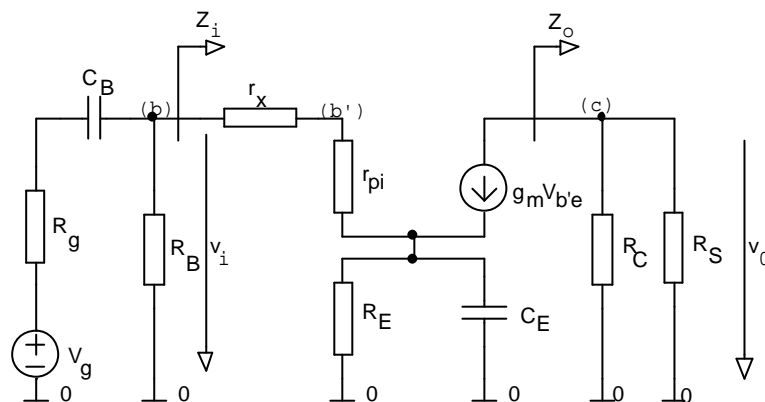


Fig. 4. Schema de semnal a etajului emitor comun la frecvențe joase

Pentru impedanta Z_s se obtine expresia:

$$Z_s(s) = R_E \parallel \left(R_S + \frac{1}{sC_S} \right) = \frac{R_C (1 + sC_S R_S)}{1 + sC_S (R_C + R_S)} \quad \text{I. 14}$$

Impedanta grupului $R_E \parallel C_E$ din emitor este:

$$Z_E(s) = R_E \parallel \left(\frac{1}{sC_E} \right) = \frac{R_E}{1 + sR_E C_E} \quad \text{I. 15}$$

Utilizând expresia de mai sus, rezulta impedanta de intrare Z_i vazuta în baza tranzistorului:

$$Z_i(s) = \frac{V_i}{I_b} = r_p + r_x + (b+1) Z_E(s) \quad \text{I. 16}$$

Rezulta urmatoarea expresie:

$$Z_i(s) = \frac{r_p + r_x + (b+1) R_E + sC_E R_E (r_p + r_x)}{1 + sC_E R_E} \quad \text{I. 17}$$

sau în forma mai convenabila:

$$Z_i(s) = \left(r_p + r_x + (b+1)R_E \right) \cdot \frac{1+s \frac{C_E R_E (r_p + r_x)}{r_p + r_x + (b+1)R_E}}{1+s C_E R_E} \quad \text{I. 18}$$

Daca se definesc urmatoarele pulsatii caracteristice:

$$\mathbf{w}_1 = \frac{1}{C_S R_S}; \quad \mathbf{w}_2 = \frac{1}{C_S (R_C + R_S)}; \quad \mathbf{w}_3 = \frac{r_p + r_x + (b+1)R_E}{(r_p + r_x)R_E C_E}; \quad \mathbf{w}_4 = \frac{1}{R_E C_E} \quad \text{I. 19}$$

rezulta expresiile impedantelor Z_s si Z_i în functie de pulsatiile \mathbf{w}_1 , \mathbf{w}_2 , respectiv \mathbf{w}_3 , \mathbf{w}_4 :

$$Z_s(s) = R_C \frac{1 + \frac{s}{\mathbf{w}_1}}{1 + \frac{s}{\mathbf{w}_2}} \quad Z_i(s) = \left(r_p + r_x + (b+1)R_E \right) \cdot \frac{1 + \frac{s}{\mathbf{w}_3}}{1 + \frac{s}{\mathbf{w}_4}} \quad \text{I. 20}$$

Tensiunile de la intrare si iesire se pot exprima:

$$v_i = Z_i(s) i_b \quad v_o = -Z_s(s) i_C = -Z_s(s) \mathbf{b} i_b \quad \text{I. 21}$$

Amplificarea în tensiune fata de intrare este:

$$A_{ui}(s) = \frac{v_o(s)}{v_i(s)} = -\frac{\mathbf{b} Z_s(s)}{Z_i(s)} \quad \text{I. 22}$$

Utilizând relata (27) si trecând la variabila pulsatie \mathbf{w} , se poate scrie sub forma:

$$A_{ui}(s) = -\frac{\mathbf{b} R_C}{r_p + r_x + (b+1)R_E} \cdot \frac{1 + \frac{s}{\mathbf{w}_1}}{1 + \frac{s}{\mathbf{w}_2}} \cdot \frac{1 + \frac{s}{\mathbf{w}_4}}{1 + \frac{s}{\mathbf{w}_3}} \quad \text{I. 23}$$

Daca se doreste exprimarea în functie de variabila complexă s , amplificarea ia forma:

$$A_{ui}(s) = -\frac{\mathbf{b} R_C}{r_p + r_x + (b+1)R_E} \cdot \frac{\mathbf{w}_2 \mathbf{w}_3}{\mathbf{w}_1 \mathbf{w}_4} \cdot \frac{(s + \mathbf{w}_1)(s + \mathbf{w}_4)}{(s + \mathbf{w}_2)(s + \mathbf{w}_3)} \quad \text{I. 24}$$

sau echivalent:

$$A_{ui}(s) = -\frac{\mathbf{b} R_C R_S}{(R_C + R_S)(r_p + r_x)} \cdot \frac{(s + \mathbf{w}_1)(s + \mathbf{w}_4)}{(s + \mathbf{w}_2)(s + \mathbf{w}_3)} \quad \text{I. 25}$$

In expresia raspunsului în frecventa al etajului în conexiune emitor comun se pun în evidenta zerourile \mathbf{w}_1 si \mathbf{w}_4 precum si polii \mathbf{w}_2 , \mathbf{w}_3 .

Amplificarea în mijlocul benzii se poate obtine din relata (30), daca se trece la limita pentru $\mathbf{w} \rightarrow \infty$:

$$A_{ui0} = \lim_{\mathbf{w} \rightarrow \infty} A_{ui}(\mathbf{w}) = -\frac{\mathbf{b} R_C R_S}{(R_C + R_S)(r_p + r_x)} \approx -g_m(R_C || R_S) \quad \text{I. 26}$$

Aceasta coincide cu expresia amplificarii calculata de pe schema echivalenta în mijlocul benzii (la frecvente medii), în care condensatoarele sunt considerate scurtcircuite pe semnal la frecventa de lucru.

Amplificarea la frecvente foarte joase si în curent continuu se obtine daca în expresia (29) se face trecerea la limita $\mathbf{w} \rightarrow 0$:

$$A_{ui0} = A_{ui}(0) = -\frac{\mathbf{b} R_C}{r_p + r_x + (b+1)R_E} \approx -\frac{R_C}{R_E} \quad \text{I. 27}$$

Amplificarea în curent continuu are aceeasi expresie cu cea a unui etaj cu *sarcina distribuita* (etaj în conexiune emitor comun, în care emitorul nu este decuplat la masa prin condensator).

Raspunsul circuitului la înalta frecventa

Schimbul echivalent al etajului emitor comun la frecvențe înalte este dată în Fig.5. În schimbul apar capacitatile interne C_p și C_m precum și o capacitate la ieșire C_o .

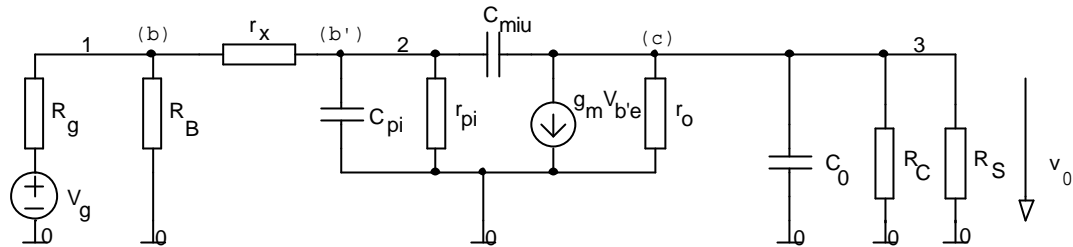


Fig. 5. Schimbul echivalent al etajului emitor comun la frecvențe înalte

Capacitatea de la ieșire C_o cuprinde capacitatea parazita colector-emitor a tranzistorului, capacitatea de intrare a etajului urmator (a sarcinii) și alte capacitați parazite.

Se poate înlocui portiunea de circuit de la intrare cu o sursă echivalentă de tensiune (Thévenin) V_g' și având rezistența internă R_g' . Se pot scrie relațiile:

$$V_g' = \frac{R_B}{R_g + R_B} V_g \quad \text{I. 28}$$

$$R_g' = R_g \parallel R_B + r_x \quad \text{I. 29}$$

Putem scrie ecuațiile TTN cu numerotarea nodurilor din figura avem sistemul de ecuații:

$$(\text{nodul1}) (G_g + G_B + g_x) V_{10}(s) - g_x V_{20}(s) = G_g V_g$$

$$(\text{nodul2}) - g_x V_{10}(s) + (g_x + g_p + sC_p + sC_m) V_{20}(s) - sC_m V_{30}(s) = 0 \quad \text{I. 30}$$

$$(\text{nodul3}) - sC_m V_{20}(s) + (sC_m + g_0 + sC_0 + G_C + G_S) V_{30}(s) = -g_m V_{10}(s)$$

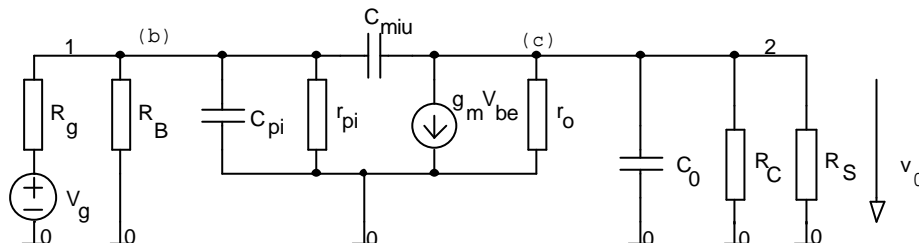


Fig. 6. Schimbul echivalent simplificat la frecvențe înalte

Dacă vom considera schimbul de semnal mic simplificat cu $r_x=0$ și renumerotind nodurile avem:

$$(\text{nodul1}) (g_x + g_p + sC_p + sC_m) V_{10}(s) - sC_m V_{20}(s) = G_g V_g \quad \text{I. 31}$$

$$(\text{nodul2}) - sC_m V_{10}(s) + (sC_m + g_0 + sC_0 + G_C + G_S) V_{20}(s) = -g_m V_{10}(s)$$

Rezolvând sistemul obținem amplificarea în raport cu sursa de semnal:

$$A_{vg}(s) = \frac{V_{20}(s)}{V_{10}(s)} = \frac{-g_m + sC_m}{g_0 + G_C + G_S + s(C_m + C_0)} \quad \text{I. 32}$$

S-au pus în evidență un pol și un zero de pulsatie:

$$W_5 = \frac{g_m}{C_m}; \quad W_6 = \frac{g_0 + G_C + G_S}{C_m + C_0} \quad \text{I. 33}$$

Cu aceste notări formula amplificării este:

$$A_{vg}(s) = \frac{C_m}{C_m + C_0} \frac{s + W_5}{s + W_6} \quad \text{I. 34}$$

Etaj de amplificare elementar cu tranzistor bipolar în conexiune emitor comun

Daca vom aproxima formula amplificarii calculata la frecvențe mica vom calcula amplificarea in banda:

$$A_{vg_0} = \lim_{w \rightarrow \infty} A_{vg}(w) = -g_m (R_C \parallel R_S) \quad \text{I. 35}$$

Daca vom aproxima formula amplificarii calculata la frecvențe foarte inalte avem:

$$A_{vg\infty} = \frac{C_m}{C_m + C_0} \approx 1 \quad \text{I. 36}$$

Un calcul aproximativ se poate face folosind teorema Miller. Capacitatea de reactie interna a tranzistorului C_m se va reflecta la intrarea si la iesirea etajului prin doua capacitatii echivalente:

$$C_{ei} = (1 - A_v) C_m \quad \text{I. 37}$$

$$C_{eo} = \frac{A_v - 1}{A_v} C_m \approx C_m \quad \text{I. 38}$$

Marimea A_v din relatiile de mai sus este amplificarea în banda a etajului emitor comun, cu expresia:

$$A_v = -g_m (R_C \parallel R_S) = -g_m R_s' \quad \text{I. 39}$$

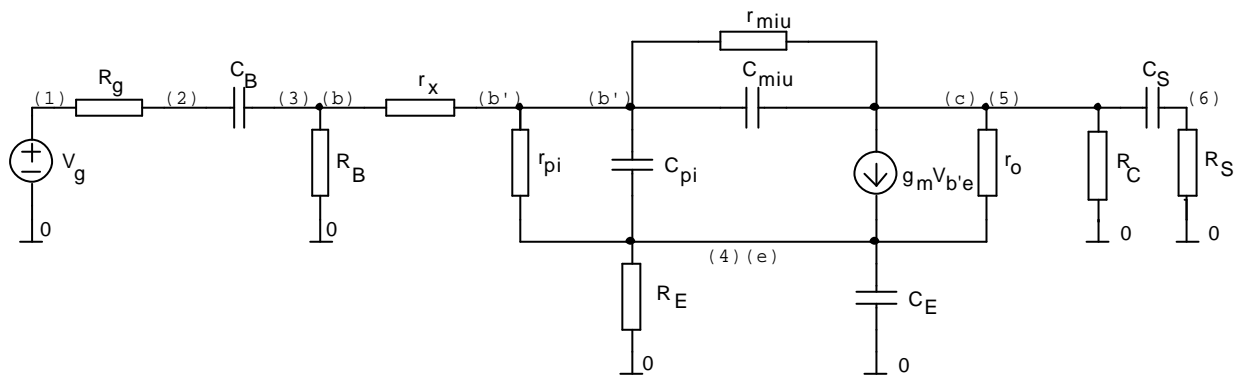
Capacitatatile echivalente totale de la intrare si iesire vor fi:

$$C_i = C_p + C_{ei} = C_p + (1 + g_m R_s') C_m \quad \text{I. 40}$$

$$C_o = C_o' + C_m$$

Simulare SPICE

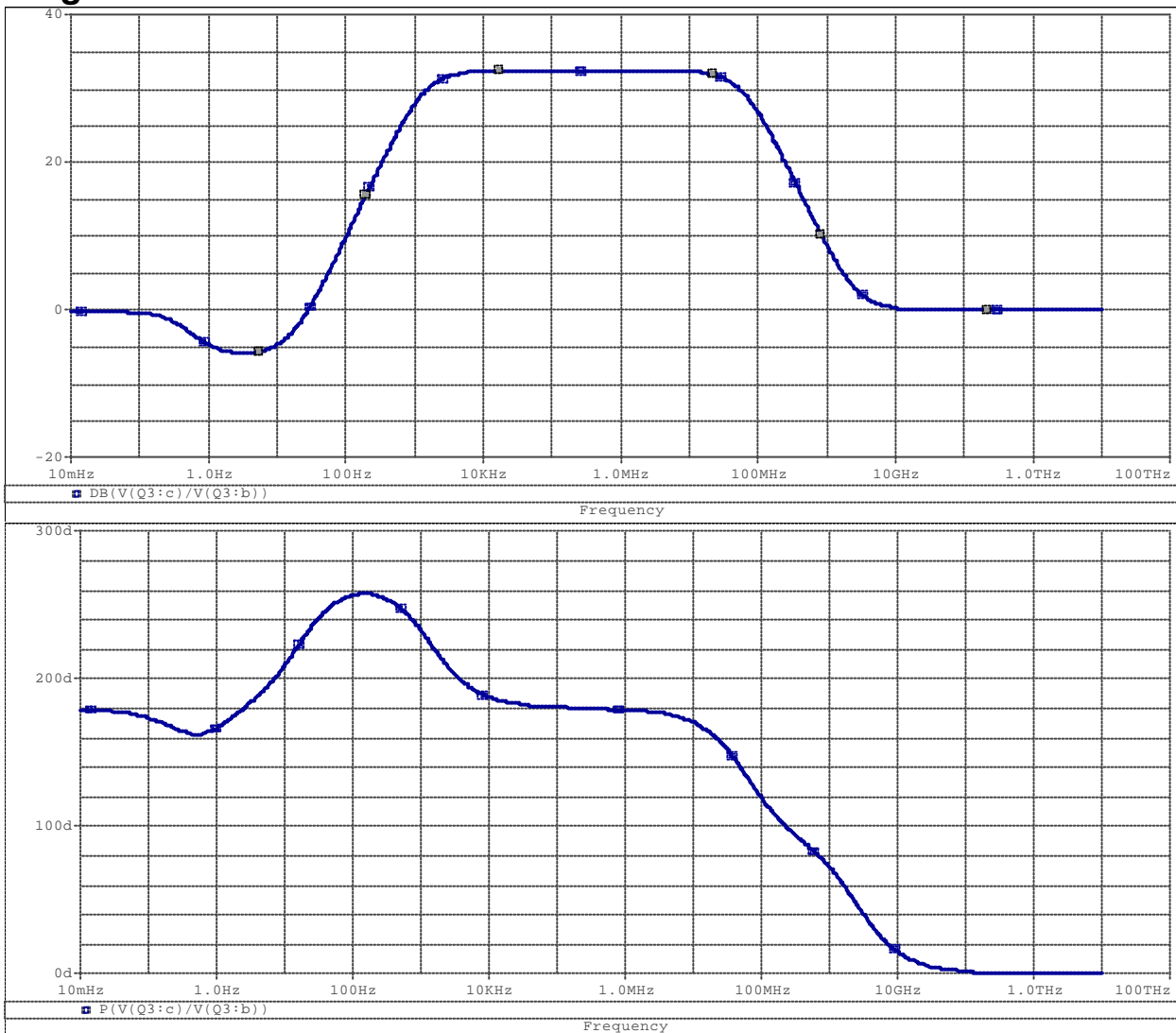
Schimbul de semnal mic valabil in toata gama de frecvențe:



Punctul static de functionare (PSF) si parametrii de model pentru tranzistor:

MODEL	BC107A	RX	0.00E+00
IB	6.53E-06	RO	1.11E+05
IC	1.10E-03	CBE	3.93E-11
VBE	6.65E-01	CBC	2.62E-12
VBC	-4.93E+00	CJS	0.00E+00
VCE	5.60E+00	BETAAC	1.92E+02
BETADC	1.68E+02	CBX/CBX2	0.00E+00
GM	4.24E-02	FT/FT2	1.61E+08
RPI	4.53E+03		

Diagramele Bode de modul si faza



Calcul simbolic

PSF

```
> restart:with(Syrup):libname:="c:\maple\SCSlib",libname:
Schema de semnal mic valabila in toata gama de frecvente:
> TB_EC:=
"schema pentru TB in conexiune EC
Vcc vcc 0 Vcc
Vg ing 0 Vg
Rg ing inc Rc
Cb inc In Cb
Rb1 vcc In Rb1
Rb2 In 0 Rb2
Qnpu c In e BJT[pnp_dc_generic_model]
Rem e 0 Rem
Cem e 0 Cem
Rc vcc c Rc
Cs c Out Cs
```

Rs Out 0 Rs

.end":

Calculul simbolic:

```
> syrup(TB_EC, dc, 'curr','tens'):
Syrup/parsedeck: Analyzing SPICE deck "schema pentru TB in conexiune EC"
(ignoring this line)
syrup: There may be an unconnected component.
The following component(s) have zero current: {Vg, Rg, Rs}.
```

Curentul de colector:

```
> collect(simplify(eval(i[Rc],curr)),{Vcc,Vd});

$$\frac{Rb2 \beta_{dc} Vcc}{Rb2 \beta_{dc} Rem + Rem Rb1 \beta_{dc} + Rem Rb1 + Rem Rb2 + Rb1 Rb2}$$

```

$$+ \frac{\beta_{dc} (Rb2 + Rb1) Vd}{Rb2 \beta_{dc} Rem + Rem Rb1 \beta_{dc} + Rem Rb1 + Rem Rb2 + Rb1 Rb2}$$

Tensiunea colector - emitor:

$$> collect(simplify(eval(v[c]-v[e],tens)),{Vcc,Vd});
\frac{(\beta_{dc} Rc Rb2 - Rem Rb1 \beta_{dc} - Rem Rb1 - Rb1 Rb2) Vcc}{Rb2 \beta_{dc} Rem + Rem Rb1 \beta_{dc} + Rem Rb1 + Rem Rb2 + Rb1 Rb2} - \frac{(\beta_{dc} Rc Rb1 + \beta_{dc} Rc)}{Rb2 \beta_{dc} Re}$$

Neglijind curentul din baza (β_{dc} mare) putem calcula curentul de colector si tensiunea colector-emitor:

$$> limit(eval(i[Rc],curr),beta[dc]=infinity);
\frac{Rb2 Vcc + Rb1 Vd + Rb2 Vd}{Rem (Rb2 + Rb1)}$$

$$> collect(simplify(limit(eval(v[c]-v[e],tens),beta[dc]=infinity)),{Vcc,Vd});
\frac{(Rc Rb2 - Rem Rb1) Vcc}{Rem (Rb2 + Rb1)} - \frac{(Rc Rb1 + Rc Rb2 + Rem Rb1 + Rem Rb2) Vd}{Rem (Rb2 + Rb1)}$$

Analiza la semnal mic

> restart:with(Syrup):libname:="c:\maple/SCSlip",libname:

Schema de semnal mic valabila in toata gama de frecvente:

```
> TB_EC:=
"schema de semnal mic pentru TB in conexiune EC
Vcc vcc 0 0
Vg ing 0 Vg
Rg ing inc Rc
Cb inc In Cb
Rb1 vcc In Rb1
Rb2 In 0 Rb2
Qnqn c In e BJT[ac_generic_model]
Rem e 0 Rem
Cem e 0 Cem
Rc vcc c Rc
Cs c Out Cs
Rs Out 0 Rs
.end":
```

Calculul simbolic:

```
> syrup(TB_EC, ac, 'curr','tens');
```

Syrup/parsedeck: Analyzing SPICE deck "schema de semnal mic pentru TB in

conexiune EC" (ignoring this line)

Calculul functiei de transfer:

> **H:=eval(v[c]/v[In],tens):**

Expresia functiei de transfer este complicata. Exista 4 poli si 3 zerouri care determina comportarea circuitului in toata gama de frecventa. Se analizeaza circuitul simplificat in banda, la joasa frecventa si la inalta frecventa.

Aproximarea in banda

- se considera scurt circuit la frecventa de lucru capacitatile: C_b , C_e , C_s ;
- se negligeaza din modelul π -*hibrid* capacitatile C_{pi} (sc), C_{miu} (gol) si rezistentele r_{miu} (gol) si r_o (gol);

> **eval(v[c]/v[In],tens):**

```
limit(%,{Cs=infinity,Cb=infinity,Cem=infinity}):
limit(%,{cpi=0,cmiu=0, co=0,rmiu=infinity,ro=infinity}):
Hs:=simplify(%);
```

$$H_s := -\frac{R_c R_s r_{pi} g_m}{R_s r_{pi} + R_c r_{pi} + R_c r_x + R_s r_x}$$

Daca neglijam rezistenta r_x , amplificarea este:

> **limit(%,{rx=0});**

$$-\frac{R_c R_s g_m}{R_c + R_s}$$

Aproximarea la joasa frecventa

- se iau in considerare la frecventa de lucru capacitatile C_b , C_e , C_s ;
- se negligeaza din modelul π -*hibrid* capacitatile C_{pi} (sc), C_{miu} (gol) si rezistentele r_{miu} (gol) si r_o (gol);

> **eval(v[c]/v[In],tens):**

```
limit(%,{cpi=0,cmiu=0,co=0,rmiu=infinity,ro=infinity}):
Hs:=simplify(%);
```

Expresia lui H_s este un raport de doua polinoame in s.

- Calculam polii functiei de transfer H_s :

> **solve(collect(denom(Hs),s)=0,s);**

$$-\frac{1}{C_s (R_c + R_s)}, -\frac{g_m R_{em} r_{pi} + R_{em} + r_x + r_{pi}}{R_{em} C_{em} (r_{pi} + r_x)}$$

- Calculam zerourile functiei de transfer H_s :

> **solve(collect(numer(Hs),s)=0,s);**

$$-\frac{1}{C_s R_s}, -\frac{1}{R_{em} C_{em}}$$

- Calculam amplificarea in curent continuu A_{ui0} :

> **limit(subs(s=I*omega, Hs),omega=0);limit(%,rx=0);**

$$-\frac{R_c g_m r_{pi}}{g_m R_{em} r_{pi} + R_{em} + r_x + r_{pi}}$$

$$-\frac{R_c g_m r_{pi}}{g_m R_{em} r_{pi} + R_{em} + r_{pi}}$$

Modelul este valabil numai pentru joasa frecventa. Daca crestem frecventa ar trebui sa regasim formula amplificarii in banda:

$$\begin{aligned} > \text{limit}(\text{subs}(s=I*\omega, Hs), \omega=\infty); \text{limit}(% , rx=0); \\ & - \frac{Rs \text{ } Rc \text{ } gm \text{ } rpi}{Rs \text{ } rpi + Rs \text{ } rx + Rc \text{ } rx + Rc \text{ } rpi} \\ & - \frac{Rs \text{ } Rc \text{ } gm}{Rs + Rc} \end{aligned}$$

Aproximarea la frecventa inalta

- se iau in considera la frecventa de lucru capacitatile Cb, Ce, Cs;
- se negligeaza din modelul π -hbrid capacitatile Cpi (sc), Cmiu (gol) si rezistentele rmiu(gol) si ro(gol);

```
> eval(v[c]/v[In], tens);
limit(%,{Cs=infinity,Cb=infinity,Cem=infinity}):
limit(%,{rmiu=infinity,ro=infinity}):
Hs:=simplify(%):
```

Expresia lui Hs este un raport de doua polinoame in s.

- Calculam zerourile functiei de transfer Hs:

```
> solve(collect(numer(Hs),s)=0,s);

$$\frac{gm}{cmiu}$$

```

- Calculam polii functiei de transfer Hs:

```
> simplify({solve(collect(denom(Hs),s)=0,s)}):
> collect(denom(Hs),s):
```

S-au gasit doi poli a caror valoare nu este intuitiva.

Daca neglijam rezistenta rx atunci circuitul are un singur pol:

```
> solve(collect(denom(limit(Hs,rx=0)),s)=0,s);

$$-\frac{Rc + Rs}{Rc \text{ } cmiu \text{ } Rs}$$

```

- Modelul este valabil pentru inalta frecventa. Daca scadem frecventa ar trebui sa regasim formula amplificarii in banda:

```
> limit(subs(s=I*\omega, Hs), \omega=0); \text{limit}(% , rx=0);

$$-\frac{Rs \text{ } Rc \text{ } gm \text{ } rpi}{Rs \text{ } rpi + Rs \text{ } rx + Rc \text{ } rx + Rc \text{ } rpi}$$


$$-\frac{Rs \text{ } Rc \text{ } gm}{Rs + Rc}$$

```

- Neglijind rezistenta rx calculam amplificarea la frecventa mare:

```
> limit(subs(s=I*\omega, limit(Hs,rx=0)), \omega=\infty);
1
```

Diagrama Bode

Pentru valorile de model ale tranzistorului determinate in analiza Spice se traseaza diagrama Bode de modul si faza.

```
> H1:=limit(H, {rmiu=infinity}):
> schema := {Rem=2000, Cem=5*10^(-6), Rc=2000, Rs=2000, Cs=10^(-4)};
```

Etaj de amplificare elementar cu tranzistor bipolar în conexiune emitor comun

$$schema := \{ Rem = 2000, Rs = 2000, Cs = \frac{1}{10000}, Rc = 2000, Cem = \frac{1}{200000} \}$$

```
> tranzistor:={gm=0.0424, rx=0, rpi=4530, cpi=3.93*10^(-11) ,  
cmiu=2.62*10^(-12) , ro=1.11*10^5 };  
tranzistor := { cmiu = .2620000000 10^-11, rpi = 4530, rx = 0, gm = .0424, ro = 111000.00,  
cpi = .3930000000 10^-10 }
```

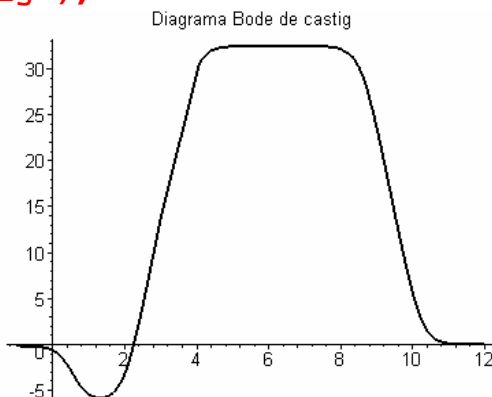
```
> Hs:=simplify(eval(H1,schema union tranzistor ));  
Hs :=
```

$$\frac{(s + 5.) (.263484991 10^9 s^2 - .4263598400 10^{21} - .4263996120 10^{19} s)}{.8678640380 10^{21} s + .263484991 10^9 s^3 + .1014750716 10^{18} s^2 + .2169346700 10^{22}}$$

```
> PZ[numERIC](Hs,s);
```

$$\begin{bmatrix} z1 & .1618 10^{11} \\ z2 & -5.000 \\ z3 & -100.0 \\ p1 & -2.500 \\ p2 & -8548. \\ p3 & -.3852 10^9 \end{bmatrix}$$

```
>plot({[log10(omega),20*log10(abs(subs(s=I*omega,Hs))),omega=10^(-1)..10^3],[log10(omega),20*log10(abs(subs(s=I*omega,Hs))),omega=10^3..10^8],[log10(omega),20*log10(abs(subs(s=I*omega,Hs))),omega=10^8..10^12]},numpoints=300,color=black,thickness=2,title="Diagrama Bode de castig");
```



```
>plot({[log10(omega),argument(subs(s=I*omega,Hs)),omega=10^(-1)..10^3],[log10(omega),argument(subs(s=I*omega,Hs)),omega=10^3..10^8],[log10(omega),argument(subs(s=I*omega,Hs)),omega=10^8..10^12]},numpoints=300,color=black,thickness=2,title="Diagrama Bode de faza");
```

